#### ERRATA

Estudo Experimental de Transplante Renal, com diferentes líquidos de perfusão para conservação do órgão.

Aspectos Microcirúrgicos.

Página 22: na segunda linha de baixo para cima onde se lê: amarelo séria ler: amarelo CEREA.

Página 28: 2.11.1 na sétima linha onde se lê: branco sério ler: branco CEREO

Página 36: TABELA 8 na 2a. coluna, onde se lê: Anastomoses Pérvias ler: Anastomoses OCLUIDAS

Página 39: Figura 2 onde se lê: Grupo II a ler: Grupo I a

Página 40: Figura 3 onde se lê: Grupo II b ler: Grupo I b Tabela 11

na 1a. coluna e 3a. linha, onde se lê: (3,33%) ler: (33,33%)

Página 41: TABELA 12
Na 2a. coluna, na 1a. linha, onde se lê: 2+ RR
ler: 3+ RR
Na 2a. coluna, na 2a. linha, onde se lê: 5+ F
ler: 6+ F
Na 2a. coluna, na 3a. linha, onde se lê: 3+++ FF
ler: 4+++ FF

### ANA TEREZINHA GUILLAUMON

Versats final da fese de Doutonado apresen ta da a Faculda de de Ciências léalicas da UNICAMP Ciências léalicas da UNICAMP pela medica Ara Tarezinha Guillau mon.
Compinas J23 de sotubro de 1931.
Brot. Dr. Pallado W. Vieira

ESTUDO EXPERIMENTAL DE TRANSPLANTE RENAL, COM

DIFERENTES LÍQUIDOS DE PERFUSÃO PARA CONSERVAÇÃO DO ÓRGAO

- ASPECTOS MICROCIRÚRGICOS -

Orientador: Prof.Adjunto Reinaldo Wilson Vieira & Co-orientador: Prof.Livre-Docente José Francisco Figueiredo &

Tese apresentada a Faculdade de Ciencias Médicas da Universidade Estadual de Campinas - UNICAMP, para obtenção do Título de Doutor em Medicina.

UNIVERSIDADE ESTADUAL DE CAMPINAS CAMPINAS-SP - 1991

arisa

UNICAMP BIBLIOTECA CENTRAL

A minha mãe, pelo exemplo de inteli gência e persistência, transmitida a nos com muito amor.

### AGRADECIMENTOS

Aos meus mestres que plantaram a semente do saber quando de minha formação médica.

Ao Professor Doutor Marcelo Ramos, quando coordenador da pos-graduação, pelo incentivo científico e pelo apoio na execução do regulamento do curso.

Ao Professor Doutor José Francisco Figueiredo pelo exemplo de pesquisador, rigor científico e incentivo perfeccionista em meu trabalho.

Ao Professor Doutor Reinaldo Wilson Vieira, um agradecimento muito especial, pois sempre primou pela dignidade científica, precisão nas pesquisas, bem como orientou minha dissertação de mestrado e me acompanhou em todos os estágios deste trabalho e sua elaboração.

Aos funcionários do Núcleo de Medicina e Cirurgia Experimental, especialmente a Doutora Doris Falkenstein que elaborou a análise estatistica; a bióloga Rosana Celestina Morandin Ribeiro de Paiva, pelo auxílio durante todo o desenvolvimento do trabalho e ao Senhor Gomes Sarmento Alvim, pela constante paciência no acompanhamento dos trabalhos no Laboratório de Microcirurgia Experimental.

Ao meu amigo e companheiro Paulo Pazotto, pela paciencia e companheirismo na redação deste trabalho.

Aos meus amigos Professora Doutora Elza Cotrim Soares, Doutora Luiza Branchini, Professor Doutor Raul Raposo de Medeiros, Doutor Jorge Saide Calil, que estiveram juntos comigo no dia a dia de minha vida acadêmica.

Ao Senhor Erasmo Gomes Carrasco, pela realização dos serviços de datilografia.

# INDICE

ī	- TATKODOÇÃO E OBJETTÃO2	6
ΙΙ	- MATERIAL E METODOS	15
	2.1. Animal de Experimentação	15
	2.2. Planejamento	18
	2.3. Anestesia	20
	2.4. Pré-operatório	21
	2.5. Intra-operatório dos diferentes grupos	21
	2.6. Técnica operatória	22
	2.7. Pormenores técnicos da perfusão	25
	2.8. Pos-operatorio	26
	2.9. Sacrificio dos animais	26
	2.10.Exame preliminar funcional das anastomoses renais e do	
	rim global, ao microscópio cirúrgico (GRUPO I)	27
	2.10.1. Critérios utilizados para o exame da anastomose	
	arterial renal e do rim transplantado	27
	2.11.Preparo do material para o exame anatomo-patológico	
	no GRUPO I	28
	2.11.1. Perfusão renal	28
	2.11.2. Retirada da peça cirūrgica	28
	2.12. Exame histopatologico	29
	2.12.1. Critérios utilizados no exame histopatológico	29
	2.13. Estudo funcional dos rins (GRUPO II)	30
	2.14. Procedimentos anestésicos e cirúrgicos para a avalia-	
	ção funcional do rim	30
		2.4
III	- RESULTADOS	33
	3.1. Resultados ao microscópio cirúrgico no GRUPO I	
	(Ia e Ib)	33
	3.1.1. Exame das anastomoses arteriais e dos rins no	2.2
	grupo I (Ia e Ib)	33
	3.1.1.1. Intra-operatorio	33
	3.1.1.2. Pos-operatório ao microscópio cirúrgico	34
	3.2. Resultados ao microscópio óptico	35
	3.2.1. Resultados histopatológicos das anastomoses arteriais	36
	3.2.2. Resultados histopatológicos dos rins	38
	3.2.3. Resultados funcionais	42

IV	- ANÁLISE GLOBAL DOS RESULTADOS	45
	4.1. Resultados	45
	a. Análise das características de cicatrização das	
	anastomoses	45
	b. Anālise comparativa das alterações do parenquima renal	
	sofridas pelos dois rins nos grupos de perfusão (solu-	
	ção fisiológica e solução de diálise peritoneal a	
	1,5%)	47
	b.1. Primeira fase do experimento	47
	b.2. Segunda fase do experimento	48
	b.3. Anālise dos resultados funcionais	49
٧	- DISCUSSÃO	52
VI	- CONCLUSÕES	60
VII	- RESUMO	62
VIII	- BIBLIOGRAFIA	63

•

### I - INTRODUÇÃO E OBJETIVOS

A preservação adequada do rim, por um periodo de tem po prolongado, consiste em um requisito importante para o suces so no transplante renal de cadáver. Este é importante porque permite um periodo de tempo adequado para que sejam feitas as tipagens e a preparação das equipes clínicas e cirúrgicas e finalmente se coloque o orgão em outro organismo, em condições de viabilidade. Este procedimento poupará ao doente sacrificios e riscos clínicos, não abolindo apenas aqueles inerentes ao proprio transplante.

Atualmente existem diversas tēcnicas para a preserva cão do órgão (BELZER, F.O. & SOUTHARD, J.H., 1980; MARSHALL , V.C., 1980), entretanto, a maioria dos centros de transplante u tiliza principalmente rins de cadaver e empregam as manobras hi potérmicas de lavagem a frio do órgão com soluções iônicas ou então a perfusão contínua, a 100 C com bombas contendo criopre cipitados de plasma. Estas técnicas são falhas quando os perío dos de conservação são maiores que 24 horas e não conseguem prevenir a deterioração do órgão, e por conseguinte levando a necrose tubular aguda (N.T.A.) (DONOHOE, J.F. e col., 1978 ; HENDERSON, L.W. e col., 1968; MORGAN, D.B., 1982). A avaliação desta deterioração funcional fica às vezes difícil de ser detectada, pela presença de rejeição aguda, o que agrava o qua dro de insuficiência renal aguda por N.T.A. (BESARAB, B. e

col., 1982). Existem muitas variaveis nas soluções preservado ras, sendo que alguns investigadores demonstraram que a ção do edema celular, mais do que a manutenção do conteúdo lular de potássio pode ser o fator mais importante do . efeito preservador das assim chamadas soluções que mimetizam o "intracelular" durante o armazenamento hipotermico (SIMÕES J.D. e col., 1984; DOWNES, G. e col., 1973; COLLINS, G.M. col., 1969; COLLINS, G.M. e col., 1980). Por outro lado, lizando-se a preparação do rim isolado, vários autores ram também soluções de conservação por perfusão a 100C aproximadamente (DOWNES, J.D. e col., 1973; JABLONSKI, P. e col 1980) e concluiram, em parte, que existem diferenças entre as diversas soluções propostas para a conservação, a nivel de ati vidade bioquimica intracelular, quando avaliadas, em condições normotérmicas, dentre estas soluções a de Collins, Sacks Perfudex e citrato hipertonico (DOWNES, J.D. e col., 1973 BISHOP, M.C. e col., 1978; JABLONSKI, P. e col., 1980; SACKS, S.A. e col., 1973) e a solução de Aquactella (AQUACTELLA, H. e col., 1972).

Diversos investigadores demonstraram também que presença de colóides (albumina, globulina e dextrana) (PEGG D.E., 1986; VAN DER VICJK e col., 1983) são importantes n a perfusão normotérmica e que as soluções hipotérmicas so não · são mais efetivas pela falta de coloides (TOLEDO-PEREYRA, L.H. e col., 1978; SWANSON, J.W. e col., 1981; PEGG, D.E., 1986) Da mesma forma tem se trabalhado no tamponamento efetivo principalmente no papel do tampão sulfato, e se tem demonstrado que a atividade tamponante destas soluções protegem o durante o processo isquêmico que é extremamente acidótico (BORE, P.J. e col., 1981). Por outro lado existem observações inte ressantes em relação a presença ou ausência de magnésio nas

soluções de Collins (com magnésio) (COLLINS, G.M. e col., 1984) e Euro-Collins (sem magnésio), paradoxalmente mantém as propriedades conservadoras de diversos orgãos como o rim, figado e pâncreas (BELZER, F.O. & SOUTHARD, J.H., 1986; COLLINS, G.M. e col., 1984; MARSHALL, V.C., 1980).

Recentemente um grupo de investigadores da Universidade de Wisconsin lançou uma nova solução conservadora para la vagem a frio, com perfusão por pressão hidrostática, que foi chamada de soluçãde Wisconsin (U.W.S.) (BELZER, F.O. & SOUTHARD, J.H. 1988). Nesta solução, colocada a disposição no mercado, foram introduzidas na sua elaboração conhecimentos bioquímicos celulares importantes, tais como coloides não proteicos para evitar a antigenicidade, potássio hipertônico (Lactobionato de potássio) e não manitol ou sacarose como agente osmótico, pois estes podem ser tóxicos para célula e substratos energéticos (glutation) (BELZER, F.O. & SOUTHARD, J.H., 1988).

Acrescentando ao exposto, também foram introduzidas substâncias chamadas "scavengers" ou incorporadoras de peroxi - dos, pois a estas substâncias tem sido atribuida a responsabili dade pela instabilidade da membrana celular e o funcionamento / das cadeias enzimáticas, bem como a ativação de enzimas no cito plasma ou na membrana citoplasmática que poderiam levar à N.T.A.

Apesar desta solução de terceira geração (solução de Belzer ou U.W.S.) ter sido lançada há dois anos, os principais centros de transplantes no mundo continuam utilizando a solução de Collins ou euro-Collins (COLLINS, G.M. e col., 1989 ; COLLINS, G.M. e col., 1980). Cumpre ainda destacar que, mesmo com a evolução da tecnologia em biomedicina, a confecção destas soluções são empiricas e obedecem a lei do "erro" e do "acerto" (eurística). Assim, teóricamente, elabora-se uma solução para

conservação, infunde-se no orgão, no caso o rim e se mede a função por vários períodos de conservação, estabelecendo-se desta forma a sua eficácia em termos de conservação funcional, de pendendo da função renal residual que o orgão apresenta, avalia da pelo nível de creatinina plasmática ou de seu "clearence", excluindo-se a sua significância se estiver presente a rejeição imunológica do orgão.

Do exposto, verificamos a necessidade da montagem de modelos experimentais adequados para se testar a eficiência das soluções pos-transplantes ou durante o processo de conservação, bem como, a sistematização de estudos da fisiologia celular permitindo que estas soluções sejam manipuladas adequadamen te para que se possa atingir uma eficiência máxima.

Apesar de varios estudos experimentais e clínicos , a fisiopatologia da insuficiência renal aguda isquêmica pos - transplante continua obscura. Em parte o desconhecimento deste fenomeno pode ser atribuído as diferentes possibilidades que podem levar a insuficiência renal aguda, e consequentemente, as dificuldades para se correlacionar os diversos modelos clínicos e experimentais desta patologia.

Fatores vārios podem produzir insuficiência renal aguda (I.R.A.) lesando a célula tubular ou glomerular renal , mas o mecanismo final que agrava a lesão é a isquemia e a hip $\overline{o}$  xia (ENGBERG, A. e col., 1983). Portanto é importante distinguir entre a isquemia e a hip $\overline{o}$ xia como fatores preponderantes / na insuficiência renal aguda (I.R.A.).

Na conservação renal, a isquemia e o principal fator na produção da insuficiência renal aguda, mas sem duvida a reperfusão do orgão com sangue também deve ter um papel importante neste fenomeno. Na prática contornamos este fator importante encurtando ao máximo o tempo de isquemía, prevenindo

desta forma a hipóxia que conduz a produção de radicais livres de oxigênio e outros metabólitos que destroem a membrana cel<u>u</u>lar.

Na literatura hā trabalhos experimentais que demons tram comparativamente que existem isquemias produzidas pela obstrução da artéria renal e pela retirada do rim e sua perfu são, a baixas temperaturas, com soluções preservadoras, a de Collins e Euro. Collins. Estes trabalhos tem mostrado que até por duas horas estas conservações são efetivas na preserva ção tecidual, apos o qual hã uma significativa deterioração da função (HARVIG, B. & NORLEN, B.J., 1980). Estes resultados de monstram que existe um "limite de viabilidade" do tecido re nal nas diversas situações experimentais no que se refere função vascular (NORLEN, B.J. e col., 1978a), glomerular tubular (NORLEN, B.J. e col., 1978b; HARVIG, G. e col., 1980).

Desta forma, torna-se necessário detectar de forma mais apurada o quanto de parênquima renal, independente da função renal residual, permanece funcionando após a conservação, pois após a insuficiência renal aguda em animais de experimentação ou em humanos, poderá haver um déficit de função consequente a dimunuição da população de nefrons funcionantes durante o processo de conservação e/ou outras patologias as sociadas, levando a população restante de nefrons à hipertrofia e ao funcionamento com capacidade máxima em hiperfiltração (FINN, W.F., 1983), o que pode levar a uma deterioração mais rápida do rim e da filtração glomerular por gloméruloesclerose.

Do exposto, depreendemos a necessidade de se estudar a qualidade das soluções utilizadas na conservação do parenquima renal, bem como a necessidade da montagem de modelos experimentais práticos para estes estudos.

Considerando que o rim de rato é um modelo relativa mente adequado e pouco dispendioso, ele tem sido utilizado para testar a eficiência das soluções eletrolíticas para perfusão do orgão, por meio da pressão hidrostática, para lavagem a frio e conservação estática por diversos períodos de tempo.

Entretanto, a cirurgia de transplante renal em rato, apresenta dificuldades técnicas, pela necessidade de se utilizar a microcirurgia.

Assim a técnica básica para as anastomoses arteriais consiste no método simples da sutura circular que foi desenvolvida na primeira década deste século por ALEX CARREL (1902) e GUTHRIE, C.C. (1912). A aplicação técnica de anastomoses em vasos sanguíneos em larga escala, entretanto, não foi realizada até 1945 quando CRAWFORD reportou o tratamento / com sucesso de coarctação de aorta por ressecção e anastomose término-terminal. Dessa forma Novos procedimentos foram sendo estudados qualificando as técnicas ora existentes.

O interesse atual focalizado são as anastomoses em vasos de pequeno calibre e que muitas vezes são vitais, implementando a tecnologia para estudos e experimentos, visando o universo microscópico.

O microscopio cirurgico somado ao instrumental del<u>i</u> cado tornou possível a realização de microssuturas, solidifi - cando desta forma os princípios basicos da microcirurgia e vindo finalizar um capítulo de habilidades do cirurgião.

Nesta fase é importante lembrar que o microscópio composto, inventado por Zacharias Jansen (1590), que tinha a finalidade de estudos microbiológicos, histológicos e patológicos, venha posteriormente inaugurar uma nova era na técnica de abordagens cirúrgicas. Assim NYLEN (1921) usa o microscópio

cirúrgico, experimentalmente, pela primeira vez.

Progressivamente o microscopio binocular imtroduzido por HOLMGREM (1922) em otologia veio melhorar a precisão do campo visual em três planos, porém, sua progressão de aplicabi-lidade ocorreu lentamente nas décadas seguintes.

O uso sistemático do microscópio, cirúrgicamente foi implantado por PERRIT em 1950.

Em 1940, MURRAY introduziu o uso de anticoagulantes, beneficiando os sucessos das anastomoses vasculares. Apesar destes avanços, a manutenção dos vasos pérvios nem sempre pode ser assegurada. Assim, SCHUMAKER & LOWENBERG (1948) e SAIDENBERG, B. e col. (1958) respectivamente, revisando a lite ratura e estudando técnicas refinadas para superar as complicações advindas do diâmetro dos vasos, discutem os fatores técnicos que influenciariam a trombose na região das anastomoses , verificando a alta incidência de oclusão em vasos de diâmetros externos menores que 3,2 mm. Fato este bem documentado pelos resultados de estudos apresentados por THAL, W. 1956; BUNCKE, H.J. & MURRAY, D.E., 1971 e ABSOLON, K.J.B. & AUST, R.L., 1956 em vasos, cujos diâmetros variaram entre 2 e 4 mm. de diâmetro externo, onde se observou a ocorrência de trombose em 50% dos casos.

A microcirurgia tem seus princípios básicos definidos por JACOBSON, J.H. & SUAREZ, E.L. em 1960, quando aplicaram-na em cirurgias plásticas reconstrutivas. Assim, em uma serie sequencial de experimentos de vários autores, a aplicabilidade da microcirurgia tem demonstrado uma capacidade inequívo ca de eficácia cirúrgica, quando do treino das tecnicas básicas pelo cirurgião.

Desta forma, FISHER, B.S. em 1965; LEE, S. em 1967

propõe o uso da microcirurgia experimentalmente em transplante de orgãos, porem é FABRE, J. e col., 1971 que apresentam de talhes técnicos da cirurgia do transplante renal em ratos. Mas a técnica de implante renal aplicada a este trabalho foi des crita por DANILLER, A. e col., 1968 e FRENCH, M.E. & BACHELOR, J.R. 1969, embora ainda têm sido discutida a técnica cirur gica melhor para aplicação dos transplantes renais em ratos (OESTERWITZ, H. e col., 1983; JIMENEZ, G. e col., 1988; KORBER, K.E. & KRAEMER, B.A., 1988).

cobbet, J.R., 1967 e FUJINO, T. & AOYAGY, F., 1972 estudaram as técnicas operatórias microcirúrgicas básicas, au mentando a aplicabilidade das suturas vasculares, bem como a melhor forma de realizá-las.

A microcirurgia passa a ser um desafio aos cirurgios e pesquisadores que passam a dominar a técnica cirúrgica, realizando suturas em vasos de menores calibres, dominando o universo microscópico, auxiliados pela melhora do instrumental para as microcirurgias, chegando a relacionar o sucesso cirúrgico e, como consequência, a patencia dos vasos com o instrumental (ACLAND, R., 1972; O'BRIEN, M.Mc C. e col., 1973).

Assim varios trabalhos relatam anastomoses vasculares em vasos de calibres externos microscópicos (JACOBSON, J. H. & SUAREZ, E.L., 1960; BALLINGER, W.F. e col., 1963; HALLER, J.D. e col., 1965; O'BRIEN, B.Mc C. e col., 1970 e 1973 ; BUNCKE, H.J. & MURRAY, D.E. , 1971; ACLAND, D.R., 1972a, 1972b, 1973 e 1975; ELCOCK, H.W. & FREDERICKISON, J.M., 1972; HAYHURST, J.W. & O'BRIEN, B.Mc C., 1975; FUJIMAKI, A. e col., 1977).

A arte da técnica microcirurgica, entretanto, ainda não é perfeita haja visto a porcentagem de insucessos. Assim um preparo pré-operatório e intra-operatório precisos e com técnica padronizada e uma avaliação pos-operatória, para anal<u>i</u> se das anastomoses vasculares, podem elucidar fatores corrigi-veis ou contornáveis do insucesso como demonstram INOBUCHI, K. e col., 1961; BAXTER, T. e col., 1972 e ELCOCK, H.W. & FREDERICKSON, J.M. 1972. Bem como a técnica de transplante re nal em ratos que foi descrita por LEE, S., 1967; DANILLER, A. e col., 1968 e detalhada por FABRE, J. e col., 1971.

O presente trabalho estuda conjuntamente a forma de conservação de orgãos, os rins, ressaltando a importância / do conhecimento de aspectos fisiológicos para a sua preserva - ção. Cumpre salientar que este tipo de pesquisa na área de conservação de orgãos necessita ainda de conhecimento sistematizados e básicos, de forma a permitir a padronização da conservação, facilitando os transplantes inter-vivos e principalmente de cadáver, em humanos, tendo em vista a escassez, no momento, de orgãos disponíveis para este procedimento.

Do exposto, o presente trabalho tem como objetivos, o estudo experimental em ratos para analisar as anastomoses mi crocirurgicas em vasos de pequeno calibre (diâmetro externo de aproximadamente 0,5 mm) e as alterações apresentadas pelo rim do animal de experimentação sob o ponto de vista anatômico e funcional, quando submetido a perfusão com diversas soluções / eletrolíticas, por pressão hidrostática, a baixa temperatura (1090), seguida do auto transplante renal por técnica microcirurgica.

### II - MATERIAL E MÉTODOS

## 2.1. Animal de experimentação

Foram utilizados 108 ratos machos da raça wistar, he terogêneos, criados sob condições convencionais, fornecidos pe Centro de Bioterismo da Universidade Estadual de Campinas. No período dos experimentos, os animais foram mantidos no Biotério do Laboratório de Técnica Cirúrgica e Cirurgia Experimen tal do Núcleo de Medicina e Cirurgia Experimental da Faculdade de Ciências Médicas da Universidade Estadual de Campinas, também sob condições ambientais convencionais, recebendo água e ração apropriada para ratos, "ad libitum".

A seleção dos animais foi feita pela eliminação d<u>a</u> queles que apresentassem as seguintes características:

- Comportamento alterado;
- 2. Pêlo eriçado e sem brilho;
- 3. Secreção sanguinolenta ao redor dos olhos;
- Irritação ou descamação da pele e ainda falhas na pelagem.

Os animais de experimentação foram divididos em dois grupos (GRUPO I e GRUPO II). O peso dos animais variou en tre 180 e 450 gramas, (TABELA 1 e TABELA 2). Os animais do

grupo I foram subdividos em dois subgrupos:

Subgrupo Ia - Este subgrupo foi constituído por 45 animais (N=45) que foram submetidos ao auto transplante renal, sendo a perfusão do orgão feita com solução fisiológica (0,9g / dl de NaCl), heparinizada (0,167 mg/ml), a baixa : temperatura (100C), cujo volume de perfusão variou de 3 a 7 ml. (TABELA 3);

Subgrupo Ib - Este subgrupo foi constituído de 45 animais (N=45) que foram submetidos ao auto transplante renal, sendo a perfusão do orgão feita com solução de diálise peritoneal (1,5%), heparinizada (0,167 mg/ml), a baixa temperatura (1000), cujo volume de perfusão variou de 3 a 7ml (TABELA 4).

Os animais do grupo II, em número de 18, (N=18) foram subdividos em três subgrupos:

Subgrupo IIa - Os rins deste subgrupo foram perfundi dos com solução fisiológica (0,9g/dl de NaCl), a baixa temperatura (100C), heparinizada. Este subgrupo constou de seis ani mais (N=6);

Subgrupo IIb - Os rins deste subgrupo foram perfund $\underline{i}$  dos com solução de diálise peritoneal (1,5%), a baixa temperat $\underline{u}$  ra (100C), heparinizada. Este subgrupo constou de seis an $\underline{i}$  mais (N=6);

Subgrupo IIc - Os rins deste subgrupo foram perfundidos com solução de Collins, a baixa temperatura (1000) heparinizada. A heparinização utilizada nos três subgrupos foi na dose de 0,167 mg/ml. A composição química das soluções de perfusão estão expressas na TABELA 5. Este subgrupo constou de seis animais (N=6).

TABELA 1

PESO DOS ANIMAIS DO GRUPO I, EM GRAMAS

PESO EM GRAMAS	NUMERO DE ANIMAIS
180 a 270	30
271 a 360	60
TOTAL	90

TABELA2

PESO DOS ANIMAIS DO GRUPO II, EM GRAMAS

PESO EM GRAMAS	NÚMERO DE ANIMAIS
180 a 270	01
271 a 360 ·	08
361 a 450	09
TOTAL	18

### 2.2. Planejamento

O trabalho foi iniciado com as cirurgias dos animais do grupo I, sendo que neste grupo se operou um animal por dia, alternando os dois grupos de perfusão (grupo Ia, solução salina e Ib, solução de diálise peritoneal). Após 21 dias e 120 dias, 60 e 30 animais, respectivamente, foram coletadas as anas tomoses arteriais e os rins transplantado e o contralateral, supostamente normais, para exame anátomo-patológico.

TABELA 3

VOLUME EM MILILITROS DAS SOLUÇÕES DE PERFUSÃO

DOS ANIMAIS DO GRUPO I

VOLUME DE PERFUSÃO (ml.)	S.F. NÚMERO DE ANIMAIS	S.D. NŪMER DE ANIMAIS	
3 a 5	9	10	
5.1 a 7	36	27	
TOTAL	45	45	

S.F. - solução fisiológica

S.D. - solução de diálise peritoneal a 1,5%

ml. - mililitros

1,14 g./1.

0.86 g./l.

=

=

sulfato de magnésio heptahidratado = 6,89 g./1.

TABELA 4

VOLUME EM MILILITROS, DA SOLUÇÃO DE PERFUSÃO

DOS ANIMAIS DO GRUPO II

		<del></del>	<del></del>
VOLUME DE PERFUSÃO (m1.)	S.F. NUMERO DE ANIMAIS	S.D. NÚMERO DE ANIMAIS	S.C. NUMERO DE ANIMAIS
3 a 5	2	3	3
5.1 a 7	4	. 3	3
TOTAL	6	6	6

S.F. - solução fisiológica

S.D. - solução de diálise peritoneal a 1,5%

S.C. - solução de Collins

ml. - mililitros

## TABELA 5

# COMPOSIÇÃO DAS SOLUÇÕES USADAS PARA A PERFUSÃO RENAL

```
SOLUÇÃO SALINA - (vol. = lml.)
                  cloreto de sodio = 0,9g./l.
SOLUÇÃO DE DIÁLISE PERITONEAL
                                 glicose
                                                       = 15,00 \text{ g./1.}
                                                       = 5,00 g./1.
                                 lactato de sódio
                                 cloreto de sódio
                                                       = 5.60 \text{ g./l.}
                                                       = 0,26 g./1.
                                 cloreto de cálcio
                                 cloreto de magnésio = 0,15 g./1.
                                 sulfato de magnésio = 0,15 g./l.
SOLUÇÃO: DE COLLINS - Componente A
                                                            = 39,27 g./l.
= 35,70 g./l.
                       glicose monohidratada3,57%
                       glicose anidra
                       componente B (vol. = 20 ml.)
                                                             = 2.09 g./1.
                       fosfato monoácido de potássio
                                                             = 0.55 \text{ g./l.}
                       fosfato dibásico de potássio
```

cloreto de potássio

bicarbonato de sodio

A segunda parte do experimento (GRUPO II), constou de animais que foram submetidos ao mesmo procedimento cirúrgico, sendo subdivididos em três subgrupos:

Subgrupo IIa - Os rins desse subgrupo foram perfundidos com solução fisiológica e constou de seis animais (N=6);

Subgrupo IIb - Os rins deste subgrupo foram perfundidos com solução de dialise peritoneal (1,5%) e constou de seis animais (N=6);

Subgrupo IIc - Os rins deste subgrupo foram perfund<u>i</u> dos com solução de Collins e constou de seis animais (N=6).

As soluções estavam heparinizadas e a temperatura aproximada de 100C. Após 10 dias se fez a avaliação funcional /
dos rins e o exame anátomo-patológico dos mesmos. Os animais
cujas anastomoses vasculares não estavam pervias foram abolidos
do grupo.

### 2.3. Anestesia

Os animais foram submetidos a anestesia geral com éter etílico via inalatória, através de máscara cônica contendo algodão embebido e ligada a catéter de oxigênio. A temperatura do ambiente estava constante e de aproximadamente 200C . A anestesia com éter etílico, acima descrita foi feita para a realização da primeira cirurgia, ou seja, o auto transplante renal. Na segunda cirurgia (animais do grupo II), em que o intuito era a avaliação funcional e anátomo-patológica renal, foi feita anestesia com pentobarbital sódico, intraperitoneal,

na dose de 30 mg./kg de peso corporal do animal; e quando neces saria foi feita a suplementação com um terço da dose anestesica inicial.

### 2.4. Pré-operatório

Os animais selecionados não foram submetidos a je jum pre-anestesico. Após a anestesia inalatória ou intra-peritoneal, os animais foram fixados em prancha cirurgica aquecida a 37°C em decubito dorsal horizontal, submetidos a rapagem dos pelos da região abdominal, seguida de assepsia e antissepsia com alcool iodado a 2%.

Não foi utilizada a antibioticoterapia profilatica ou pos-operatoria.

### 2.5. Intra-operatório dos diferentes grupos

A primeira parte do experimento (GRUPO I) foi total-mente realizado com o uso de anestesia inalatoria, de eter et $\bar{1}$ lico, por embebição do algodão, em mascara conica.

A segunda parte do experimento (GRUPO II), foi util<u>i</u> zada no primeiro ato operatório indução anestésica com éter et<u>í</u> lico via inalatória; e no segundo ato operatório a anestesia foi feita com pentobarbital sódico intraperitoneal.

### 2.6. Técnica Operatória

Foram realizadas 108 anastomoses microcirúrgicas em artérias renais esquerdas de ratos.

A cirurgia tem início por uma laparotomia mediana  $x\underline{i}$  fo-pūbica, com abertura dos planos anatômicos da parede abdominal, seguida da abertura da cavidade peritoneal. As alças intestinais são afastadas, envoltas em gaze umedecida com solução fisiológica a temperatura ambiente e protegidas por recipiente plástico.

A seguir, o peritoneo posterior é aberto e se inicia a dissecção da aorta abdominal (microscópio D.F. Vasconce - los, modelo F.C. 250, São Paulo, Brasil) com lentes de aumento de 12,5 x 10, na região da emergência da artéria renal esquer da. Esta artéria é submetida a dissecção em toda sua extensão, ou seja, desde sua emergência da aorta até o hilo renal (aumento de 12,5 x 16).

Prosseguimos a abordagem cirúrgica com a dissecção / da veia renal esquerda desde a sua imergência na veia cava inferior, até o hilo renal. Procedemos a ligadura dos vasos (artéria e veia) renais separadamente, em sua porção proximal. Seccionamos os vasos e realizamos o cateterismo da artéria renal / com catéter (P.E. 50), (aumento de 12,5 x 25), para perfusão do orgão com solução escolhida aleatoriamente, entre os três tipos préviamente selecionados; todas heparinizadas e a bái xa temperatura (109C). A perfusão se faz por coluna de 130 cm de altura para fornecer pressão de infusão suficiente. O orgão é perfundido até se observar uma coloração amarelo-séria. Cum pre salientar que não houve secção do ureter, sendo que o rim

foi recolocado no mesmo local da cavidade abdominal. Esta man<u>o</u> bra de não se dissecar o ureter foi planejada com o intuito de evitar que outras variáveis fossem introduzidas no experimento, como exemplo a estenose e/ou a necrose do ureter.

O diametro das artérias renais observado variou de 0,5 a 0,8 mm.

A reconstrução microcirurgica das arterias renais foi realizada apos a colocação de pinças vasculares microcirurgicas na aorta e na veia cava inferior para reimplante do orgão. A anastomose arterial foi realizada sob visão microscopica (aumento de 12,5 x 25), com fio de nylon monofilamentado com diā metro de 10-0 (Ethicon 2820-G-BOS 3/8), pela aplicação de pon tos simples separados, sequenciais, iniciado na parede rior e se completando na parece anterior (FIGURA 1). procedimentos cirúrgicos não foi seccionado o ureter, \_visto que não havia necessidade, pois estavamos avaliando apenas repercussão da infusão de líquidos de perfusão no orgão e a anastomose microcirurgica. No entanto o rim foi liberado cui dadosamente e também envolto com a respectiva solução a uma temperatura de aproximadamente 10ºC.

# TÉCNICA MICRO CIRÚRGICA DE SUTURA

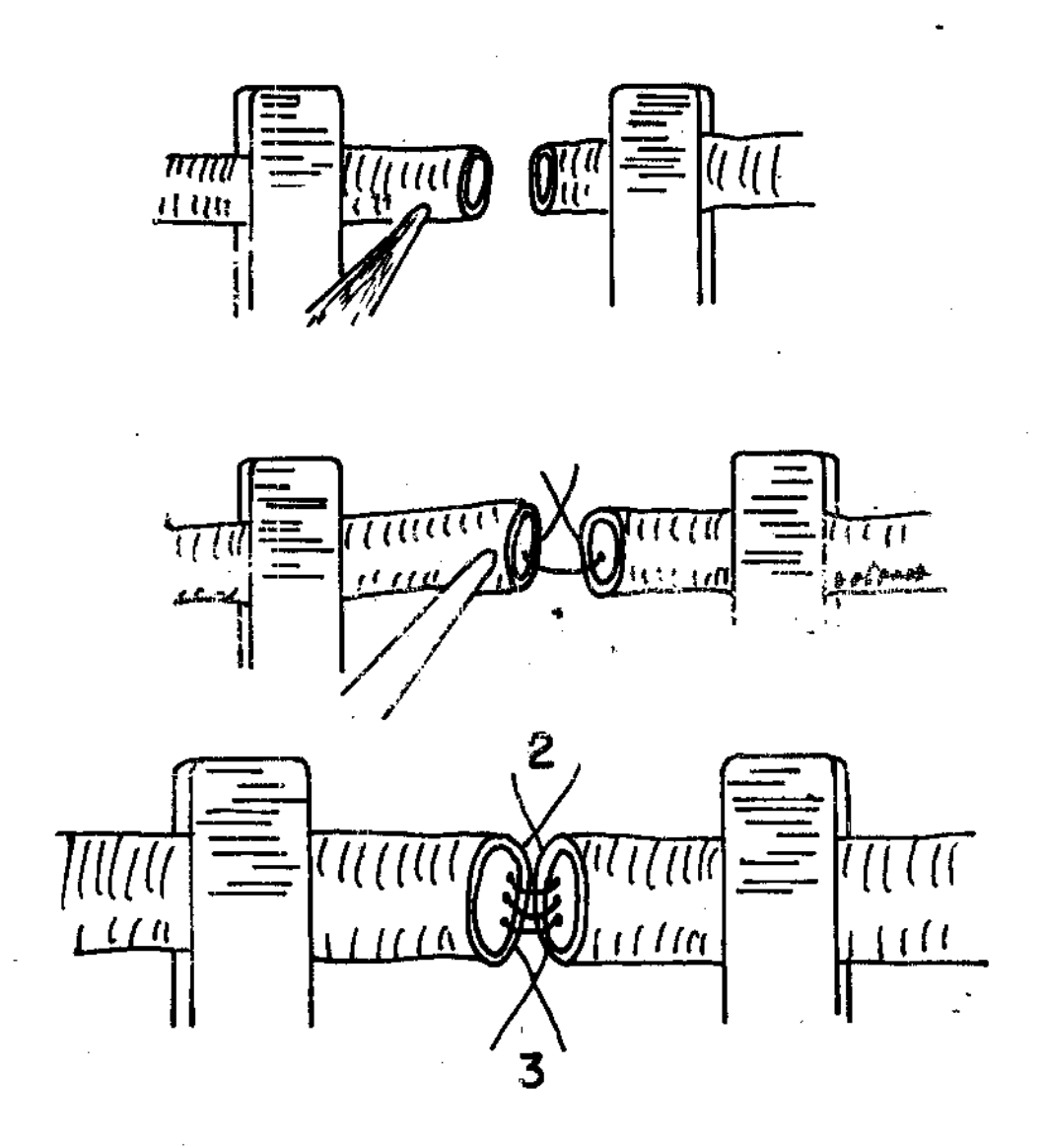


FIGURA 1. Sequência de aplicação de pontos na anastomose microcirúrgica nas artérias renais de ratos Wistar.

Na anastomose venosa repetimos o mesmo procedimento, tomando-se o cuidado de antes de dar o último ponto, liberar o fluxo arterial, de forma a perfundir o orgão e apresentar fluxo venoso.

Os pontos aplicados nas anastomoses variaram em  $n \bar{\underline{u}}$  mero de 12 a 14, de acordo com o calibre do vaso.

Ao microscópio cirúrgico avaliamos a perfusão renal intra-operatória, e se os vasos (artéria e veia) estavam  $p\bar{e}_{\underline{r}}$  vios e sem sangramento.

Procedemos a revisão da cavidade abdominal e suas estruturas, seguido de fechamento do abdomem por planos, com fio inabsorvível (nylon monofilamentar 3-0), por chuleio simples.

A variação técnica não foi considerada, tendo em vista que a microcirurgia foi realizada pelo mesmo operador, com o mesmo instrumental cirúrgico e alternadamente nos grupos descritos, com temperatura ambiente controlada (2390), uniforme e sem variação.

### 2.7. Pormenores técnicos da perfusão

A perfusão renal foi feita por pressão hidrostática, sendo iniciada após cateterismo da artéria renal com catéter es pecífico para tal fim e conectado a uma coluna líquida da solução de perfusão, de 130 cm de altura, de modo a perfundir o orgão porém sem produzir uma hiper-pressão.

A perfusão renal intra-operatória foi considerada su ficiente quando ao microscópio cirúrgico (aumento de 12,5 x 25), se verificou que o rim ficou branco sério. Interrompeu-se a perfusão e o rim ficou com o líquido de perfusão retido em seu parênquima por um período de 20 minutos.

### 2.8. Pos-operatório

Apos a microcirurgia, nas primeiras 72 horas, os an<u>i</u> mais foram mantidos em gaiolas individuais. Não foi administrado antibiótico ou analgesico. A ingestão liquida e solida foi liberada apos passar o efeito anestesico.

Os ratos foram inspecionados diariamente até o vigé simo primeiro dia de pos-operatório, determinado para o sacrificio dos animais (60 animais dos grupos Ia e Ib); e no 1200 dias de pos-operatório (30 animais dos grupos Ia e Ib). Nos animais do grupo II a inspeção foi realizada até o 100 dia de pos-operatório, quando foram sacrificados após a análise da função renal.

### 2.9. Sacrificio dos animais

A padronização utilizada para o sacrifício dos an<u>i</u> mais foi:

- a) Anestesia geral com éter etílico via inalatória, através de máscara cônica, contendo algodão embebido, ligada a catéter de oxigênio, para os animais do grupo I. Nos animais do grupo II, onde avaliamos a função renal, utilizamos anestesia / com pentobarbital sódico, intraperitoneal (30 mg./kg de peso corporal);
- b) Laparotomia xifo-pública mediana seguida da abertura da cavidade peritoneal, afastamento das alças intestinais e abertura do peritoneo posterior para proceder a dissecção da arteria renal em toda a sua extensão.

Nesta primeira fase do experimento retiramos a anas tomose renal e o rim e encaminhamos para a avaliação anatomo - patologica, utilizando como fixador o corante de Bouin.

2.10. Exame preliminar funcional das anastomoses renais e do rim global ao microscopio cirurgico (GRUPO I).

A punção da artéria renal foi realizada na região pré-anastomótica, que foi cateterizada introduzindo-se uma agu lha no sentido proximal à aorta. Através desta cateterização foi medida a pressão intra-arterial. Nova punção foi realizada na artéria renal porém na região pos-anastomótica e se repetiu a mesma técnica para a medida da pressão intra-arterial pré-anastomótica.

A pressão arterial renal variou entre 110 a 130mmHg., sendo que nos animais em que se observou haver um gradiente de pressão pre e pos-anastomótico, foram desprezados, tendo em vista que não tencionavamos avaliar as alterações renais quando houvessem alterações de perfusão renal por defeito técnico existente nas anastomoses vasculares.

2.10.1. Critérios utilizados para o exame da anastomose vas cular e do rim transplantado.

A avaliação da artéria renal externamente, se fez através do microscópio cirúrgico na região da anastomose (aume<u>n</u> to de 12,5 x 25), e a avaliação renal no seu aspecto externo

(aumento de 12,5 x 10). A avaliação da anastomose foi feita sob a seguinte classificação: Com estenose, com obstrução, normal .

Na avaliação renal também adotamos a classificação qualitativa: rim normal, rim com áreas de fibrose e rim contraído e fibrosado.

A avaliação do parenquima renal foi feita através da pesagem do orgão e em seguida encaminhado para exame histopatológico.

 2.11. Preparo do material para o exame anátomo-patológico no grupo I.

### 2.11.1. Perfusão renal.

A perfusão renal foi realizada através da mesma punção na artéria renal utilizada para a medida da pressão intra - arterial, pos-anastomótica. Apos a colocação de pinças vascula res microcirurgicas na artéria renal, junto a aorta, esta foi perfundida com solução glicosada (concentração de 50 g/dl), até se verificar ao microscópio cirurgico (aumento de 12,5 x 10), que o rim ficou com aspecto branco sério. Esta manobra foi utilizada para produzir nos cortes histológicos melhor qualidade / de coloração.

### 2.11.2. Retirada da peça cirurgica

As anastomoses renais e os rins foram retirados , imersos em corante de Bouin para fixação, processadas e incluidas

em parafina. Os cortes foram corados com hematoxilina-eosina e P.A.S.

### 2.12. Exame histopatológico

Os exames histopatológicos do grupo I foram realizados no Departamento de Histologia e Embriologia do Instituto de Biologia da Universidade Estadual de Campinas; os exames histopatológicos do grupo II foram realizados no Laboratório de Anatomia Patológica do Núcleo de Medicina e Cirurgia Experimental da Faculdade de Ciências Médicas da Universidade Estadual de Campinas.

As peças (rins) foram perfundidas com solução glicosada numa concentração de 50 g/dl, apos cateterização da arteria renal, antes de serem retiradas dos animais. Apos este procedimento foram colocadas em solução de corante de Bouin, para sua fixação, processadas, e incluídas em parafina. Os cortes dos rins dos animais do grupo I e do grupo II foram corados com hematoxilina-eosina P.A.S.

O exame histopatológico foi realizado em todas as anastomoses para se estudar a linha de sutura e o estado per vio vascular. Nos rins, o estudo microscópico visou o exame dos glomérulos, túbulos renais, interstícios e vasos.

## 2.12.1. Critérios utilizados no exame histopatológico

A finalidade deste exame foi analisar as características

de coaptação das bocas anastomóticas nos vasos renais, a homogeneidade da parede interna (endotélio), a presença de tecido cicatricial na linha de sutura e as alterações histopatológi acas desta região, bem como estudar a conservação da estrutura morfológica do parênquima renal.

As lesões observadas nos rins foram avaliadas quanto a intensidade em uma +, ++. +++, correspondendo respectivamente a lesões leves, moderadas e intensas. Quando a frequência foram consideradas R, RR, F, FF, respectivamente correspondendo a lesões raras, muito raras, frequentes e muito frequentes.

### 2.13. Estudo funcional dos rins (GRUPO II)

Os estudos funcionais foram realizados apos os an<u>i</u> mais serem subdivididos em três grupos:

IIa - Rins perfundidos com solução fisiológica heparinizada, a baixa temperatura (109C);

IIb - Rins perfundidos com solução de diálise peritoneal a 1,5%, heparinizada, a baixa temperatura (1090);

IIc - Rins perfundidos com solução de Collins, heparinizada, a baixa temperatura (109).

2.14. Procedimentos anestésicos e cirúrgicos para a avaliação funcional do rim

conservação com diversas soluções, foram anestesiados com pent $\underline{o}$  barbital sódico na dosagem de 30 mg/kg de peso corporal.

A seguir os animais foram submetidos a cirurgia de auto transplante renal, com as mesmas técnicas até então empregadas e anteriormente descritas.

No decimo dia de pos-operatorio, os animais foram submetidos a nova cirurgia, para a avaliação funcional e morfo lógica do orgão. Os animais que apresentaram anastomoses vas culares com defeito perceptível ao microscópio cirúrgico, foram desprezados, neste fase do estudo.

A anestesia empregada foi o pentobarbital sódico i<u>n</u> traperitoneal, na dose de 30 mg./kg. de peso corporal do an<u>i</u> mal. Quando necessária foi feita a suplementação anestésica na quantidade de um terço da dose inicial.

A cirurgia foi realizada observando-se os seguin - tes tempos cirúrgicos:

- a) Colocação do animal em ambiente condicionado a 23ºC, em decúbito dorsal horizontal, em mesa térmica (37ºC) para a manutenção de sua temperatura corporal e fixação de seus membros com fita crepe;
- b) A temperatura corporal foi monitorizada durante o ato operatório por um teletermômetro com o sensor colocado na via retal (Yellow Spring Instruments - U.S.A.);
- c) Dissecção da veia jugular e infusão de inulina (Sigma Co. U.S.A.) numa concentração de 7,5 mg./dl., diluída em solução fisiológica, na velocidade de 1,2 ml. da solução por hora, através de um catéter (P.E.-50). Essa infusão foi realizada durante 20 minutos ou seja, tendo como volume total de 0,4 ml., com auxílio de uma bomba de infusão (B.Braun, W.Germany); na velocidade de 0,02 ml./min. utilizando seringa (Hamilton ,

U.S.A.) com capacidade de 5.0 ml., sendo que a velocidade de infusão foi mantida durante todo o experimento, que durou em torno de 60 minutos.

- d) Foi realizado o cateterismo de artéria carôtida
   comum (catéter P.E. -10) para ser monitorada a pressão arterial mêdia, com um manômetro de coluna de mercurio;
- e) Incisão transversal em abdomem baixo, interessa<u>n</u> do pele, tecido celular subcutâneo e musculatura. Abertura do peritoneo e colocação de afastadores, feitos artesanalmente no Laboratório de Técnica Cirúrgica e Cirurgia Experimental.

Procedemos a seguir a dissecção dos ureteres e os cateterizamos isoladamente com catéter (P.E. -50) hepariniza - do.

Após esta manobra, iniciamos a coleta de urina para análise da perfusão e depuração renal, sendo desprezada a primeira amostra. A coleta de urina é feta por um tempo de 40 minutos.

No material coletado, sangue e urina, foi feita a dosagem de inulina, pelo metodo de antrona, para a avaliação da função renal. A função renal foi analisada pelo ritmo de filtração glomerular (R.F.G.) segundo a formula:

onde Uin = concentração urinária de inulina em mg./dl.

V' = volume minuto

Pin = concentração plasmática de inulina em mg./dl.

O R.F.G. inter-grupos foi analisado estatísticamente pelo teste não pareado de Student, sendo o nível de significancia menor que 5% (p 0,05). Na analise estatística morfologica foi utilizado o teste exato de Fisher.

### III - RESULTADOS

3.]. Resultados ao microscópio cirúrgico no Grupo I (Ia e Ib).

O exame da parede abdominal mostrou boa cicatrização em todos os animais. Não houve infecção em nenhuma das cicatrizes cirúrgicas. Como intercorrência, no pos-operatorio, tivemos três obitos, onde encontramos um animal com obstrução total da artéria renal operada; um animal com estenose da artéria renal operada, porém pervia; e um animal com ruptura da anastomose e sangramento.

- 3.1.1. Exame das anastomoses arteriais e dos rins no grupo I  $(Ia\ e\ Ib).$
- 3.1.1.1. Intra-operatório.

O exame das anastomoses arteriais no intra-operatōrio logo apōs a realização das anastomoses, ao microscōpio c<u>i</u> rūrgico, demonstrou a presença de estenose discreta em seis casos e bom aspecto nos outros 84 casos (TABELA 6).

TABELA 6

# ASPECTOS INTRA-OPERATORIOS DAS ANASTOMOSES DO GRUPO I (Ia e Ib)

ASPECTOS DAS ANASTOMOSES	NÚMERO DE CASOS
ESTENOSE	6 ( 6,67%)
ANASTOMOSE NORMAL	84 (93,33%)
TOTAL	90 (100%)

O exame dos rins no intra-operatório, ao microscópio cirúrgico, mostrou órgão sem alterações extensas.

# 3.1.1.2. - Pos-operatório ao microscópio cirúrgico

A avaliação pos-operatoria foi realizada por volta do vigesimo primeiro dia e no 1200 dias de pos-operatorio (GRU-PO I).

A avaliação realizada no vigesimo primeiro dia de pos-operatório, foi feita em 30 animais de cada subgrupo (Ia e Ib), verificamos oclusão total das anastomoses em 1/90 (caso 8), ruptura de anastomose em 1/90 (caso 36), em todos os outros casos as anastomoses estavam pervias e sem alterações (TABELA 7).

TABELA 7

EXAME DAS ANASTOMOSES ARTERIAIS AO MICROSCÓPIO

CIRÚRGICO NO 21 e 120 DIAS DE POS-OPERATÓRIO

EXAME DAS ANASTOMOSES	NUMERO DE ANASTOMOSES
oclus#0	1 ( 1,11%)
RUPTURA	1 (1,11%)
ANEURISMA	1 ( 1,11%)
NORMAIS	87 (96,67%)
TOTAL	90 (100%)

A avaliação realizada no 120º dias de pos-operatorio, foi feita em 15 animais de cada subgrupo (Ia e Ib), onde verificamos a presença de aneurisma anastomótico em 1/90 (caso 19).

Nas demais anastomoses arteriais, verificou-se anastomoses de aspecto externo normal, ao microscopio cirúrgico (aumento de 12,5 x 25).

# 3.2. Resultados ao microscópio óptico

O estudo histopatológico foi dividido em duas etapas: uma em que se estudou as características das anastomoses ar
teriais e outra em que se estudou as alterações morfológicas re
nais.

#### 3.2.1. Resultados histopatológicos das anastomoses arteriais

Os resultados histopatológicos das anastomoses das artérias renais colhidos no 21º e no 120º dias de pos-operato - rio foram analisados conjuntamente, pois não houve diferenças significativas nos dois resultados.

A analise histopatológica das anastomoses arteriais renais, ao microscópio óptico, sob o aspecto de coaptação de monstrou que: em 90 anastomoses, foi verificado que 78 anastomoses estavam pérvias e bem coaptadas; seis anastomoses estavam pérvias porém com defeito de coaptação das bocas anastomóticas; três anastomoses estavam ocluidas e com defeito de coaptação e três anastomoses estavam ocluidas porém bem coaptadas. Assim, verificou-se que em nove anastomoses, embora houvesse defeito de coaptação, seis mantinham-se pérvias (TABELA 8).

TABELA 8

CARACTERÍSTICA DAS SUTURAS ARTERIAIS QUANTO A COAPTAÇÃO GRUPO I

	NŪMERO DE ANASTO MOSES PERVIAS	NŪMERO DE ANASTO MOSES PERVIAS	TOTAL
BEM COAPTADA	78 (86,67%)	3 (3,33%)	91 (90%)
DEFEITO NA COAPTAÇÃO	06 ( 6,67%)	3 (3,33%)	09 (10%)
TOTAL	84 (93,33%)	6 (6,67%)	90 (100%)

Se analisarmos o aspecto de bordas necroticas e reação inflamatória nas anastomoses arteriais, verificamos que em três anastomoses, embora pervias, havia presença de necrose e intenso processo inflamatório.

Em 81 anastomoses pérvias não havia processo inflamatório significativo, havendo dificuldade para se identifi - car a linha de sutura; e em três anastomoses pérvias verificamos a presença de um processo inflamatório intenso, havendo / também dificuldade para se diferenciar a linha de sutura. Em três anastomoses ocluídas e com processo inflamatório presente, o endotélio se apresentava desestruturado e com trombo organizado na região. Em três anastomoses ocluídas não detectamos / alterações na organização celular da parede do vaso, ou reação inflamatória importante que justificasse a oclusão, pois não havia necrose de borda e/ou reação inflamatória nas anastomoses arteriais. Em outras três anastomoses ocluídas, verificamos intenso processo inflamatório e necrose das bordas (TABE LA 9).

	NÚMERO DE ANASTO MOSES PERVIAS	NÚMERO DE ANASTO MOSES OCLUÍDAS	TOTAL	
PRESENTE	3 (3,33%)	3 (3,33%)	6 (6,67%)	
AUSENTE	81 (90%)	3 (3,33%)	84 (93,33%)	
T 0 T A L	84 (93,33%)	6 (6,67%)	90 (100%)	

10

÷

3.6

12

411

310 A

Em relação as características das suturas arteriais sob o aspecto da regularidade do endotélio, verifaçamos que de 84 (93,33%) anastomoses pervias, 78 (84,67%) apresentavam regularidade endotelial. Nas seis (6,67%) anastomoses, ocluídas, verificamos que havia regularidade endotelial em 3,33% e em outras três (3,33%) não havia regularidade endotelial. Verificamos portanto que de 90 casos (GRUPO I) operados, a regularidade endotelial estava presente em 81 (90%) dos casos e ausente em nove (10%) dos casos (TABELA 10).

TABELA 10

CARACTERÍSTICAS DAS SUTURAS ARTERIAIS QUANTO AFREGULARI

DADE DO ENDOTELIO - GRUPO I

	NÚMERO DE ANASTO MOSES PERVIAS	NÚMERO DE ANASTO MOSES OCLUÍDAS	·	TOTAL	_
PRESENTE	78 ( 86,67%)	3 (3,33%)	81	(90%)	
AUSENTE	6 (6,67%)	3 (3,33%)	9	(10%)	
TOTAL	84 (03,33%)	6 (6,67%)	90	(100%)	

#### 3.2.2. Resultados histopatológicos dos rins

Os estudos histopatológicos dos rins foram realiza - :pa dos nas duas fases do experimento. Na primeira fase (GRUPO I ) inrealizamos tomada única por não haver diferenças significativas o nas coletas em tempos diferentes (210 e 1200 dias).

Os resultados histopatológicos dos rins, comparativo, entre os dois grupos (Ia e Ib) de perfusão, estão expressos na TABELA II. Nessa, encontramos nos rins perfundidos com solução fisiológica (GRUPO Ia) e com anastomoses pervias e sem altera - ções morfológicas locais, verificamos 27 (60%) rins, cujo histopatologia demonstrou parênquima renal normal; três (6,67%) rins apresentaram pequena área de retração e fibrose, e, 15 (33,33%) rins apresentaram fibrose quase total do órgão, ou seja, igual ou superior a 50% da área (FIGURA 2).

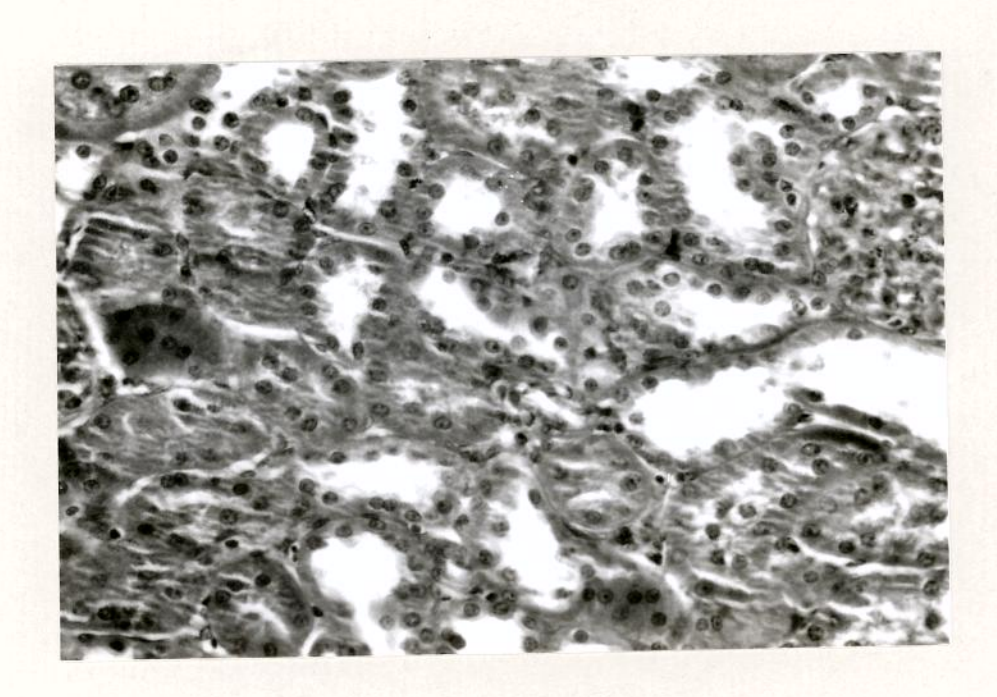


FIGURA 2 - Fotomicrografia optica do rim - GRUPO IIa - Corante hematoxi lina-eosina. (Aumento de 330 x).

Os rins perfundidos com solução de dialise perito - neal, apresentaram ao exame histopatológico 39 (86,67%) rins com parênquima de aspecto normal e seis (13,33%) rins com pe quena area de retração e fibrose (FIGURA 3).

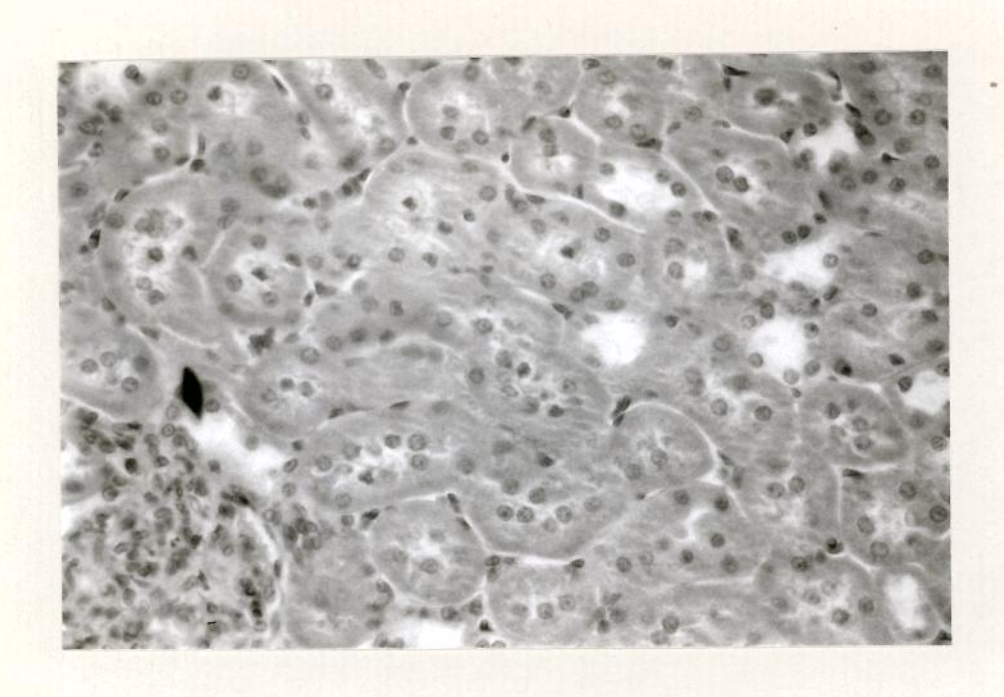


FIGURA 3 - Fotomicrografia optica do rim GRUPO IIb - Coloração hematoxili na-eosina. (Aumento de 330x).

# <u>T A B E L A 11</u>

# ALTERAÇÕES HISTOPATOLÓGICAS DOS RINS - PRIMEIRA FASE DO EXPERI MENTO

	RIM PERFUNDIDO COM S.F. GRUPO Ia	RIM PERFUNDIDO COM S.D. GRUPO Ib	TOTAL
NORMAL	27 (60%)	39 (86,67%)	66 (73,33%)
ĀREAS DE RETRA ÇÃO E FIBROSE	03 (6,67%)	06 (12,33%)	09 (10%)
FIBROSE MAIOR OU IGUAL A 50%	15 (3,33%)		15 (16,67%)
TOTAĻ	45	45	90

S.F. = Solução fisiológica a 0,9%
S.D. = Solução de diálise peritoneal a 1,5%

O estudo histopatológico dos rins em uma segunda fase do experimento (GRUPO II) na qual avaliamos conjuntamente a função renal, está representado na TABELA 12.

. The probability of the first of the second constant of the second constant  $\mathcal{L}(\mathcal{A}, \mathcal{A})$ 

TABELA 12 GRAU DAS ALTERAÇÕES HISTOPATOLOGICAS DOS RINS - FASE II ESTUDO FUNCIONAL (GRUPOS IIa, IIb, IIc)

GRUPO	GLOMERULO	REGENERAÇÃO TUBULAR	INTERSTICIO	VASOS
S.COLLINS	- -	3-+RR 2-+R	- -	-
S.D.	-	5-+F	•	
S.F.	-	2++FF 3+++FF		
+ Les	encia de lesões ões Leves ões moderadas ões intensas	R Lesõ F Lesõ	es muito raras es raras es frequentes es muito frequent	es

Verificamos que o grupo dos rins cuja perfusão foi feita com solução fisiológica (GRUPO IIa), encontramos glomérulos com volume e celularidade normais. Mesângio e parede capilar sem particularidades. Nos túbulos notamos alterações regenerativas que variam de moderadas a intensas, nas células tubulares de frequentes a muito frequentes. O interstício não apresentou edema ou outras alterações. Os vasos não apresentam particularidades.

Os rins cuja perfusão foi feita com solução de di<u>ã</u> lise (GRUPO IIb), apresentam glomérulos com volume e celularidade normais. Mesângio e parede capilar não apresentam particular<u>i</u> dades. Os túbulos renais apresentam frequentes âreas de rege neração de leve intensidade nas celulas tubulares. Os interstício não apresenta edema ou outras alterações. Os vasos não apresentam particularidades.

Os rins perfundidos com solução de Collins (GRUPO IIc) apresentam glomêrulos com volume e celularidade normais. O mesângio e a parede capilar não apresentam particularidades . Os túbulos renais apresentam suas células tubulares com regeneração variando de raras áreas de regeneração para frequente e de leve intensidade.

#### 3.2.3. Resultados funcionais

Os resultados funcionais obtidos estão apresentados na TABELA 13. Verificamos que nos três grupos de perfusão, os resultados funcionais foram diferentes, obtendo-se uma melhor preservação do orgão no grupo de rins perfundidos com a solução de Collins, seguido do grupo perfundido com solução de dialise peritoneal a 1,5% e por último pelo grupo perfundido / com solução fisiológica.

TABELA 13

APRESENTAÇÃO DOS RESULTADOS FUNCIONAIS DOS GRUPOS DE PERFUSÃO (RITMO DE FILTRAÇÃO GLOMERULAR - ML./MIN.)

EXP.	£	SF	EXP.	£	SD	EXP.£	SC	·
	N	Q		N	0		N	0
SFI	0,62	0,31	SDI	1,13	0,69	SC1	1,30	0,54
SFA	1,16	0,48	SD4	0,72	0,43	SC11	1,24	1,02
SFB	0,68	0,03	SDB	1,59	0,78	SC12	0,39	0,43
SFE	1,59	1,20	SDC	1,62	1,37	SC14	1,28	1,46
SFG	1,01	0,86	SDE	1,02	0,92	SC17	2,34	2,05
SFD	1,74	0,77	SDF	1,07	0,84	SC20	1,41	1,39
M EPM	1,13 0,19	0,61(a) 0,17	)	1,20 0,15	0,84(b) 0,13		1,33 0,25	1,15(c) 0,25

N = Rins direitos, rins normais (controles)

0 = Rins esquerdos, rins operados e conservados

SF = Solução fisiológica a 0,9%

SD = Solução de diálise peritoneal a 1,5%

SC = Solução de Collins

M = Media aritmetica

EPM = Erro padrão da media

EXP.f = Codigo do animal experimental

a = media do grupo IIa (sol.fisiológica)

b = media do grupo IIb (sol.de dialise)

c = media do grupo IIc (sol.de Collins)

TESTE T não pareado, p < 0,05 cxb

сха

Q grupo de animais cujos rins foram perfundidos com solução fisiológica (GRUPO IIa) a baixa temperatura, heparinizada, apresentou entre os rins supostamente normais (e não perfundidos), "clearence" mêdio de 1,13  $^{\pm}$  0,19 ml./min. Quando analisamos os rins operados, em que fizemos a perfusão do forgão com solução fisiológica (GRUPO IIa), verificamos que o "Clearence" mêdio foi de 0,61  $^{\pm}$  0,17 ml./min.

0 grupo de animais cujos rins foram perfundidos com solução de diálise peritoneal a 1,5% (GRUPO IIb), veridicamos/ que os rins contralaterais e supostamente normais, o "clearence" médio foi de 1,19  $\pm$  0,15 ml./min. Os rins perfundidos com solução de diálise peritoneal (1,5%) apresentaram "clearence" médio de 0,84  $\pm$  0,13 ml./min.

Por outro lado, os animais cujos rins foram perfundidos com solução de Collins (GRUPO IIc), os rins contralate rais (controle) e supostamente normais apresentaram "clearence" mêdio de 0,33  $^{\pm}$  0,25 ml./min; e os conservados a 100C por um período de tempo de 30 minutos por perfusão, com a solução de Collins, apresentaram um "clearence" mêdio de 1,15  $^{\pm}$  0,25 ml./min.

#### IV - ANALISE GLOBAL DOS RESULTADOS

#### 4.1. Resultados

a. Analise das características de cicatrização das anastomoses

O exame das anastomoses renais, ao microscopio cirurgico, intra-operatoriamente, evidenciou vasos de maspectos normais em 84/90 (93,33%) e estenose em 6/90 (6,67%) (TABELA 6).

O exame dessas mesmas anastomoses no pos-operatório ao microscopio cirúrgico, evidenciou em 1/90 (1,11%) oclusão, em 1/90 (1,11%) ruptura, em 1/90 (1,11%) aneurisma e em 87/90 (96,67%) anastomoses normais (TABELA 7).

Dessa forma, a medida que passa a fase aguda inflamatória cicatricial, o aspecto das alterações até então sofridas se manterão ou poderão sofrer alterações discretas. Assim podemos depreender que se não houve alterações no estado pér vio das anastomoses nas primeiras 72 horas de pos-operatório, com pequena probabilidade encontramos alterações posteriores / no vaso, concernentes provavelmente a um defeito técnico na feitura da anastomose.

A interpretação das tabelas 8, 9, 10, que sumarizam as características arteriais ao microscópio óptico, mostra que não houve alterações importantes, comparativamente, no vigés i mo primeiro dia de Pós-operatório e o 1200 dia de pós-operatório de evolução, quanto ao aspecto da coaptação da linha de sutura, reação inflamatória nas bordas e regularidade do endotélio. Assim sendo, a coaptação das bordas se fez de forma a natômica, com bordas coincidentes e coaptantes em 81 casos (90%) e coaptação com defeito em nove casos (10%). Embora, verifica mos que as anastomoses estavam pérvias em 93,33% dos casos e ocluídas em 6,67% dos casos.

Quanto a reação inflamatória e necrose de borda, temos três casos (3,33%) e ausência desses parâmetros em 81 casos (90%), com coaptação e regeneração do tecido conjuntivo . Alguns fios de sutura foram encontrados, porém, não havia processo inflamatório exuberante que alterasse a linha anastomótica e sua regularidade, comprometendo o estado pervio e o fluxo arterial.

Quanto a regularidade do endotélio, verificamos que nas anastomoses pérvias esse se apresentava presente em 78/90 (86,67%) e com alterações em 6/90 (6,67%). Nas anastomoses obstruídas verificamos que em 3/90 (3,33%) havia regularidade do endotélio e 3/90 (3,33%) não havia regularidade endotelial.

A boa evolução da cicatrização com as anastomoses ar teriais renais microcirúrgicas pervias (93,33%) se deve prova velmente à coaptação coincidente das bordas com consequente ma nutenção da regularidade do endotelio.

Os resultados inadequados verificados foram atribu<u>í</u> dos a dificuldades técnicas de forma a proporcionar uma boa coaptação do vaso e consequentemente manutenção da regularidade endotelial. Dessa forma, a obstrução arterial foi verificada em seis casos, embora o vaso tivesse se mantido pêrvio no pos-operatório imediato, intra-operatório.

b. Analise comparativa das alterações do parenquima renal sofridas pelos dois rins nos grupos de perfusão (solução fisiológica e de dialise peritoneal a 1,5%).

## b.1. Primeira fase do experimento

O exame histopatológico dos rins, tanto no vigesimo primeiro dia de pos-operatório como no 1200 dias de pos-operatório, não demonstrou diferença significativa de resultados, as sim analisaremos o conjunto como um todo. Dessa forma, os animais que foram submetidos ao transplante renal, tendo como solução de perfusão a solução fisiológica, apresentaram 27/45 casos (60%), ao microscópio óptico, parênquimas com aspectos normais; em 3/45 rins verificamos áreas de retração e fibrose inferior a 50% e em 15/45 dos casos (33,33%), verificamos áreas de fibrose igual ou maior que 50%.

Nos rins perfundidos com solução de diálise peritoneal (1,5%) verificamos, quanto ao aspecto histopatológico, ao microscópio óptico, parênquima com aspecto normal em 39/45 casos (86,67%) e em 6/45 casos (13,33%), áreas de retração e fi brose, inferiores a 50%.

Assim sendo, comparando-se os resultados dos exames anatomo-patologicos dos dois grupos perfundidos com solução fi siologica e solução de dialise peritoneal (1,5%) verificamos / que existem diferenças significativas entre eles, ou seja, o grupo perfundido com solução de dialise peritoneal apresenta

melhor resultado que o grupo perfundido com solução fisiológica.

((x,y), (x,y), (x,y),

A analise estatistica dos resultados, feita pelo Teste Exato de Fisher, obtidos da analise histológica das anas tomoses vasculares (TABELA 8), demonstrou que existe uma as sociação clara entre a melhor coaptação e as anastomoses pervias, p = 0.01213, x = 11.43, p = 0.00072; isto e, quanto melhor a coaptação na anastomose vascular, maior será a probabilidade de se manter o vaso pervio.

Se analisamos estatisticamente os resultados expressos na TABELA 9, através do Teste Exato de Fisher, verificamos que há associação entre o aspecto de bordas necróticas e reação inflamatória e a patência das anastomoses, conforme p=0,00315, x=19,40, p=0,0000106; isto é, quanto maior a reação inflamatória ou a presença de bordas necróticas, pior é a probabilidade de se manter o vaso pérvio.

Ao analisarmos as características das suturas arteriais quanto a regularidade do endotélio, estatísticamente , verificamos que há uma associação concordante entre estes dois parâmetros conforme demonstrou o Teste Exato de Fisher em que p=0.00329, p

## b.2. Segunda fase do experimento

Partindo comparativamente para uma analise histológica, na segunda fase do experimento (GRUPO II), verificamos que existe concordancia entre os resultados obtidos e analisados na primeira fase do experimento. Assim, verificamos que o grupo cujos rins foram perfundidos Por solução de Collins apresentam melhores resultados funcionais; anátomo-patológicamente, o tecido tem preservação próxima a igualdade dos rins perfundidos com solução de diálise peritoneal (1,5%).

Os rins perfundidos com solução fisiológica apresentaram conservação precária em relação à preservação renal tanto funcional como no exame anátomo-patológico.

## b.3. Anālise dos resultados funcionais

Neste grupo, de acordo com o protocolo, os resultados funcionais foram obtidos na segunda fase do experimento (GRUPO II).

A analise estatistica, usando o teste T pareado de Student, verificamos que nos mesmos animais cujos rins foram perfundidos com solução fisiológica versus os rins controles (contralaterais),  $T=p\ <\ 0.001$ , demonstrando que existe significancia na diferença de função observada nos mesmos.

Da mesma forma, verificamos que nos rins perflundi - dos com solução de diálise peritoneal versus os rins controles (contralaterais), existe uma queda significante (p < 0,05 ) de função nos rins conservados com esta solução.

A análise estatistica, usando o teste T de Student, pareado, verificamos que nos rins perfundidos com solução de Collins versus os rins controles (contralaterais), dessa forma, ficou demonstrado que não existe diferença significante p >0,05.

Comparando os três grupos de perfusão, verificamos que no grupo perfundido com solução fisiológica, os rins opera dos, apresentaram um "clearence" baixo se comparado com o grupo de diálise peritoneal e, a diferença é mais acentuada ainda, se comparado ao grupo de solução de Collins (p < 0,05).

A análise estatística inter-grupos, com teste T não pareado, demonstrou que, se compararmos o grupo perfundido com solução fisiológica ao grupo perfundido com solução de Collins, verificamos haver uma significância estatística em relação aos resultados obtidos. Assim, descarta-se de certa forma a possibilidade do uso de solução fisiológica heparinizada, a baixa temperatura, na conservação do orgão.

Em relação ao grupo perfundido com solução de diāl $\underline{i}$  se peritoneal (1,5%), se comparado a função com o grupo perfundido com solução de Collins, verificamos que a solução de di $\underline{a}$  lise peritoneal  $\underline{e}$  inferior a de Collins na conservação; embora os resultados apresentados não tem diferença significativa en tre os dois grupos (p > 0,05).

Desta forma podemos depreender que apenas os exames anatomo-patologicos não são suficientes quando analisamos/ a preservação renal, necessitando de provas funcionais para caracterizar melhor a conservação do  $\overline{o}$ rgão.

Concluindo, o presente trabalho permite analisar na primeira fase (GRUPO I) as características gerais e histológicas da cicatrização de uma anastomose microcirúrgica em vaso de pequeno calibre (média de 0,65mm. de diâmetro externo), bem como as alterações sofridas pelo órgão, na dependência dos líquidos de perfusão usados para a prevenção tecidual e comparão inter-grupos. Ao lado disto, permitiu, no (GRUPO II), o estudo comparativo da função dos rins submetidos a perfusão por

diversas soluções conservadoras sobre o ritmo de filtração glomerular, concluindo que a solução de Collins foi a que melhor preservou funcionalmente o ôrgão, e, provavelmente a estrutura do parênquima renal. Embora estatisticamente não haja diferença entre esta solução e a de diâlise.

## V. DISCUSSÃO

A análise do trabalho desenvolvido deve ser enfocada sob dois aspectos principais: a técnica da microcirurgia vascular na aplicação em cirurgia experimental e a preservação morfo-funcional do orgão.

A técnica básica das anastomoses arteriais se delineou em 1902 quando ALEX CARRELL e GUTHRIE, C.C. (1902), a aplicaram, de forma circular na parede de grandes vasos, entretanto a aplicação em larga escala ocupou espaço quando em 1945
CRAWFORD reportou tratamento em vasos arteriais com sucesso.

Com o passar do tempo e com o advento de tecnologia mais delicada, os vasos arteriais microscópicos passaram a ser estudados em sua forma, fisiologia, restauração e como realizar e preservar sua integridade funcional (COBBET, J.R., 1967; FUJINO, T., 1972; ACLAND, R., 1972; O'BRIEN, Mc C. 1973).

A feitura de anastomoses microcirúrgicas para a realização dos transplantes renais, experimentais, em ratos Wistar, nos levou a um treinamento adequado para tal fim. Assim, o treinamento, o instrumental e o microscópio adequado , nem sempre garantem a patência vascular pos-microcirúrgica. Dessa forma, (SCHUMAKER, H.B.& LOWENBERG, R.J., 1948 e SAIDENBERG, B. e col., 1958) discutem em seus trabalhos os fatores técnicos que poderiam influir na manutenção do estado pervio das

anastomoses em vasos menores que 3,2mm de diâmetro externo. As oclusões vasculares têm um îndice de 50%, coincidindo com os achados de ABSOLON, K.J.B. & AUST, R.L. 1972; BUNCKE, H.J. & MURRAY, D.E. 1971; THAL, W., 1956; INOBUCHI, K. e col., 1961.

Os trabalhos relativos a prevenção de trombose arterial tambem se multiplicam tendo seu infício com MURRAY, G. (1940) e na microcirurgia com os trabalhos de INOBUCHI, K. e col., 1961 e deABAXTER, T.J. e col., 1972 quando faz estudos histológicos pos-reparo microvascular.

Quando em 1960, JACOBSON, J.H. & SUAREZ, E.L. definem os princípios básicos da microcirurgia, os trabalhos experimentais se multiplicam demonstrando uma capacidade inequívoca / de eficácia cirúrgica, não tendo como limitação por tanto o tamanho dos vasos.

O presente trabalho exigiu um treinamento técnico / bastante disciplinado, tendo em vista que os vasos operados <u>a</u> presentavam, aproximadamente, um calibre externo de 0,5 a 0,8 mm para a artéria e 0,8 a 2,0 mm para a veia (JACOBSON J.H. & SUAREZ, E.L. 1960; BALLINGER, W.F. e col., 1961; HALLER, E.R., J.D. e col., 1965; O'BRIEN, B.Mc C. e col., 1970 e 1973, BUNCKE, H.J. & MURRAY, D.E., 1971; ACLAND, R., 1972a, 1972b, 1973, 1975; ELCOK, H.W. & FREDERICKSON, J.M., 1972; HAYHURST, J.W. & O'BRIEN, B.Mc C., 1975; FUJIMAKI, A. e col., 1977).

O uso de microcirurgia experimental em transplante de órgãos foi proposta por FISHER, B.S., (1965), LEE, S. (1967); FABRI, J. e col., (1971), com larga escala porém de difícil aplicação nos centros de pesquisa experimental, embora permita a feitura de transplantes em pequenos animais o que de certa forma torna o procedimento menos dispendioso e de fácil controle em laboratório. Atualmente ainda se discute a melhor técnica cirúrgica para implante do órgão, como discute DANILLER, A. e col.,

(1968); OESTERWITIZ, H. e col., (1983); JIMENEZ, G. e col., (1988); KORBER, K.E. & KRAEMER, B.A. (1988).

O presente trabalho apresentou dados concordantes com a escassa literatura ora existente em relação a aplicação da microcirurgia experimental para os transplantes de orgãos; tan to em relação aos achados cirúrgicos relativos a técnica microcirurgica, como as dificuldades vencidas pelo primor do treina mento microcirúrgico. Se analisarmos a tecnica microcirúrgica aplicada, verificamos que tanto a técnica proposta por COBBET, J.R. (1967) como a proposta por FUJINO, T. & AOYAGI, F. (1972) são imprescindíveis para o conhecimento do microcirurgião pois cada uma delas tem sua aplicação dependendo da possibilida de oferecida pelo campo cirúrgico. Utilizamos neste experimento um misto das duas, pois fizemos uma sutura sequencial, parede posterior para a parede anterior, com pontos separados. Assim o resultado obtido foi bastante animador indicando o seu uso em todo o decorrer do experimento, e, mesmo repeti-la outros procedimentos que exijam a aplicação da microcirurgia onde a limitação na manipulação do vaso em sua rotação para sutura da parede posterior.

A preservação tecidual e funcional adequada dos orgãos, no caso os rins, deve ser abordada sob o aspecto técnico tempo e qualidade. O tempo de preservação prolongado é um quesito im portante num transplante de orgãos, pois da condições de selecionar doentes para a recepção, bem como acionar a equipe clini co-cirurgica para a implantação do orgão em condições de viabilidade e sem grandes transtornos e sacrificio do doente, inde pendente daqueles inerentes aos procedimentos clinico-cirurgi cos em si. Alem disso, permite que haja um intercâmbio entre os centros de transplantes, de modo a aproveitar melhor os

õrgãos disponíveis. Analisando o aspecto qualidade, sabemos que existem diversas técnicas para o transplante de rim, no entanto, atualmente, os centros transplantadores de forma progressiva ten dem a utilizar somente rins de cadaver. Para isso as técnicas de conservação são diversas (BELZER, F.O. & SOUTHARD, J.H. 1980; MARSHALL, V.C. 1980), sendo usadas soluções conservadoras hipo termicas, para a lavagem do órgão, soluções iônicas ou então perfusão contínua com bombas e perfusão com crioprecipitados plasma a frio. Estas técnicas tem permitido uma melhor preserva ção tecidual e consequentemente funcional. Porém, essas técnicas tem falhado principalmente quando o periodo de conservação trapassa 24 horas, por poder causar deterioração do orgão, leva<u>n</u> do a lesões vasculares (NORLEN, B.J. e col., 1978a) e (ENGBERGER, A. e col., 1983), e glomerulo tubulares com conse quente N.T.A. (DONOHOE, J,F. e col., 1978; HENDERSON, L.W. col., 1968; MORGAN, D.B., 1982; NORLEN, B.J. e col., 1978b HARVING, G. e col., 1980). Considerando ainda este aspecto mos verificado que as vezes a deterioração funcional fica cil de ser detectada pela possível presença de um processo agu do de rejeição, que agrava o quadro de insuficiência renal aguda por N.T.A. (BESARAB, B. e col., 1982).

Existe um grande número de soluções preservadoras , porêm alguns investigadores demonstraram que a inibição do edema celular mais do que a manutenção do conteúdo celular de potássio pode ser o fator mais importante do efeito preservador das assim chamadas soluções que mimetizam o meio "intracelular", duran te o armazenamento a frio (SIMÕES, J.D. e col., 1984; DOWNES , G. e col., 1973; COLLINS, G.M. e col., 1969; COLLINS, G.M. e col., 1980). Considerando estes aspectos, uma série de técnicas de avaliação experimental foram utilizadas na avaliação da eficiência das soluções conservadoras.

Assim a preparação do rim isolado foi testada tam bém com diversas soluções de conservação a frio (AQUACTELLA , H. e col., 1972; DOWNES, G. e col., 1973; JABLONSKI, P. e col., 1980) e se concluiu parcialmente que soluções como a de citrato hipertônico, pouco utilizada, mantêm níveis altos de adenina nucleotídeo produzindo uma função renal melhor em condições normotécnicas, do que a solução de Collins, Sacks ou Perfudex (BISHOP, M.C. e col., 1978), no entanto nas avaliações clínicas com esta solução não se obteve resultados condizentes com os dados experimentais.

The section of the control of the co

Existem afirmativas que a presença de coloides são importantes na perfusão hipotérmica continua com bomba, e que as soluções hipotérmicas eletrolíticas a frio, so não são mais efetivas pela falta destas substâncias coloidais (TOLEDO-PEREYRA, L.H. & CONDIE, R.M. 1978; SWANSON, J.W. e col., 1981). Ao lado disto também tem sido bastante incentivado o uso do tampão sulfato hipertônico, pois diversos estudos com estas soluções demonstraram que a atividade tamponante delas protege o rim durante o processo isquêmico (BORE, P.J. e col., 1981, COLLINS, G.M. e col., 1984).

Assim a proliferação de estudos com o intuito de me lhor preservar o tecido e a função do orgão, tem levado os in vestigadores a pesquisar novas soluções como a solução U.W.S. ou solução de Belzer (BELZER, F.O.; SOUTHAR, J.H., 1988), cuja feitura envolve novos conceitos de bioquímica celular, introduzindo nestas coloides não proteicos, potassio hipertônico e substratos energéticos. Além disso foram introduzidas as substancias chamadas "scavengers" ou incorporadoras de peroxidos / que tem demonstrado auxiliarem na estabilidade da membrana celular e no funcionamento de cadeias enzimáticas evitando a N.T.A.

Apesar destes estudos, mundialmente os Centros Trans plantadores tem utilizado as soluções de Collins e Euro-Collins para promover a perfusão do orgão. Assim sendo, procuramos to mar como padrão basico de normalidade, para comparação, a sol<u>u</u> ção de Collins, em nossos experimentos, pois esta ē a mais antiga, a mais utilizada até pouco tempo e com grande quan tidade de trabalhos comparativos em diversos trabalhos experi mentais. Desta forma o uso da solução de diálise para a perfusão renal mostrou existir diferença com a solução de Collins porém sem significância estatística . Por outro lado, analisa<u>n</u> do a composição desta solução verificamos que a quantidade glicose presente ê bem inferior a encontrada na solução de Collins, porém a de sódio e cálcio e bem superior e o sio não está presente nesta solução. Portanto fica difícil a tribuirmos o sucesso da preservação apenas à quantidade de tassio existente ou que apenas o ion magnesio foi suficienteme<u>n</u> te eficaz na preservação funcional do rim, quando usamos uma solução de Collins; tendo em vista que na solução Collins o magnésio foi retirado por levar a uma possível lesão glomerular devido a formação de cristais por precipitação ao magnēsio, pela presença do ion sulfato também na solução de Collins; formando portanto cristais de sulfato de magnésio poderiam lesar glomérulos e túbulos renais (COLLINS, G.M. е col., 1969; COLLINS, G.M. e col., 1980).

Contudo não devemos desprezar outras alterações do metabolismo celular, pois todos os fatores agindo em conjunto nestas soluções, acrescida da baixa temperatura, poderiam dessa forma corroborar para o sucesso da conservação tecidual renal em sua arquitetura e função.

Por outro lado, nos nossos experimentos

utilizamos a assim chamada solução fisiológica que perde seu "status" de solução conservadora quando comparada à solução de diálise e de Collins, pois estas demonstram serem mais fisiológicas em eficiência do ponto de vista conservação tecidual. Isto provavelmente se deve ao fato de que nessa solução (solução fisiológica) faltam, portanto, possíveis componentes eletrolíticos e energéticos e de estabilização da membrana. Além disso, esta solução contém alto conteúdo de sódio (145mEq/1.) e que está próximo da isotonicidade, o que deve facilitar a formação de edema intersticial e celular, facilitando a ruptura celular em condições de hipóxia e isquemia e o aparecimen to de N.T.A. por deficiência iônica estabilizadora para conservação.

Estes achados importantes nos levam a comentar os achados morfo funcionais obtidos para uma análise global dos transtornos da conservação do orgão para o transplante renal.

Assim, a solução fisiológica quando usada para a perfusão do orgão, forneceu uma característica histológica de intensa regeneração celular. Baseado apenas neste aspecto , a solução teria características conservadoras, pois propicia a proliferação celular. No entanto estes rins com proliferação celular são os que apresentaram os piores indices funcionais, demonstrando de certa forma que embora as células estejam se regenerando, simulando uma regeneração pos N.T.A.; a função não corresponde aos achados histológicos. Estes achados pode riam também nos levar a raciocinar que estes rins estariam mais propícios ao envelhecimento precoce por gloméruloesclerose dos nêfrons funcionantes, provocada pelo aumento do fluxo plasmático renal e do ritmo de filtração glomerular pela queda da reserva renal funcional.

Da mesma forma, Observamos uma regeneração celular in termediária quando usamos como solução conservadora a solução de diálise, correlacionando-se também com a função intermediária en contrada neste grupo de animais. Embora haja diferença numérica, estatísticamente não há significado quando comparamos com a solução de Collins, tida como padrão de normalidade, para este tipo de procedimento experimental e para a conservação utilizada neste protocolo de aproximadamente uma hora.

A solução de Collins, no entanto, foi a que apresen - tou um parênquima renal mais estavel com relação as sua células epiteliais. Este fato provavelmente se deve a popriedade conservadora da solução sobre as estruturas do parênquima, pois além de pouca regeneração encontramos os melhores indices funcionais.

Baseado nestes achados podemos inferir que uma solução terá características conservadoras quanto menores forem os indices de atividade celular no parenquima renal e melhor se cor relacionar com os indices funcionais.

## VI - CONCLUSÕES

O estudo experimental, em ratos, para analisar as anastomoses microcirúrgicas em vasos de pequeno calibre, bem como, as alterações apresentadas pelo rim, sob o ponto de vista anatômico e funcional, quando submetido a perfusão com diversas soluções eletrolíticas por pressão hidrostática, a baixa temperatura (109C), seguida do auto transplante renal por técnica microcirúrgica, permite as seguintes conclusões:

- 1. O estudo das anastomoses microcir $\tilde{u}$ rgicas em vasos de pequeno calibre de diâmetro externo (0,5 mm. aproximadamente), mostrou uma boa patência do vaso , mesmo quando comparado a anastomoses microcir $\tilde{u}$ rgicas de vasos de di $\tilde{a}$  metro consideravelmente major.
- 2. O líquido de perfusão, solução de diálise peritoneal heparinizada, a baixa temperatura, se mostrou de melhor / qualidade na conservação dos tecidos que a solução fisiológica heparinizada, sob o ponto de vista funcional à microscopia optica.
- 3. A solução de diálise peritoneal, embora anátomo patologicamente mostre conservação do parênquima renal, ao ana lisarmos sua função, verificamos que tendem a ser menores que a solução de Collins, embora estatisticamente não apresente diferença significativa.

4. A solução de Collins foi a que mostrou niveis de filtração glomerular mais proximos do grupo controle (considerado normal) e um quadro histológico também proximo a normalidade do rim controle (contralateral).

#### VII - RESUMO

O estudo experimental foi elaborado com a finalidade de analisar as características gerais e histológicas da cicatrização de uma anastomose microscópica em vasos de calibre exter no médio de 0,65mm, bem como as alterações apresentadas pelo rim, sob o ponto de vista anatômico e funcional, quando submetidos à perfusão com diversas soluções eletrolíticas, por pressão hidrostática, a baixa temperatura, seguida de auto-transplante renal. Os vasos apresentaram boa taxa de patência mesmo quando comparados a vasos de maior calibre.

Os líquidos de perfusão são importantes na conservação tecidual do orgão, em sua arquitetura e função. Assim, o grupo perfundido com solução de Collins mostrou melhor qualidade de conservação que o perfundido com solução de diálise peritoneal (1,5%) e solução fisiológica.

## VIII - BIBLIOGRAFIA

- ABSOLON, K.J.B.; AUST, R.L. Surgical Treatment of Occlusive Coronary Artery Disease by Endarterectomy of Anastomotic Replacement. Surg.Gynec. & Obst., 103: 180, 1956.
- ACLAND, R. A new neddle for microvascular surgery. Surgery, 71: 130-131, 1972a.
- ACLAND, R. Prevention of thrombosis in microvascular surgery by the use of magnesium sulphate. Briths Journal of Plastic Surgery, 25: 292-299, 1972b.
- ACLAND, R. Trombus formation in microvascular surgery: an experimental study of the effects of surgical trauma. Surgery, 73: 766-771, 1973.
- ACLAND, R. The histopathology of small arteries following experimental microvascular anastomosis. Plastic Reconstructive Surg., 59: 12868-75, 1975.

- ACQUATELLA, H.; PEREZ-GONZALES, M.; MORALES, J.M.; WHITTERMBURY, G. Ionic and histological changes in the kidney after perfusion and storage for transplantation Transplantation, 14: 480-489, 1972.
- BALLINGER, W.F.; FINEBERG, C. and FIGLIO, D. Repair of small blood vessel with minimal interruption of flow. J.Surg. Res. 3: 475, 1963.
- BAXTER, T.J.; O'BRIEN, B.M.; HENDERSON, P.N.; BENNETT, R.C.

  The histopatology of small vessels following microvascular repair. British. Journal of Surg. 59: 617-622, 1972.
- BELZER, F.O. & SOUTHARD, J.H. The future of kidney preservation.

  Transplantation, 30: 161-165, 1980.
- BELZER, F.O. & SOUTHARD, J.H. Organ preservation and transplan tation. Approaches to graft rejection. Allan, R. Liss. Inc : 291-303, 1986.
- BELZER, F.O. & SOUTHARD, J.H. Principles of solid-organ preservation by cold storage. Transplantation, 45: 673-676, 1988.
- BESARAB, A.; JARREL, B.; IHLE, B.; COLEBERG, J.E.; BURKE, J.F.; WESSON, L. Adverse effects of prophilatic irradiation and acute tubular necrosis on renal graft function and survival.

  Nephron, 31: 347, 1982.

- BISHOP, M.C. & ROSS, B.D. Evaluation of hypertronic citrate flushing solution for kidney preservation using the isolated perfused rat kidney. Transplantationm 25: 235-238, 1978.
- BORE, P.J.; SEHR, P.A.; THURBORN, K.R.; ROSS, B.D.; RADDA, G.K.

   The importance od pH in renal preservation. Transplantation,
  13: 707, 1981.
- BRENER, B.J.; RAINES, J.K.; DARLING, R.C. The end to end anas tomosis of blood vessels of different diameters. Surg.Gyneco & Obstre. 138: 249-250, 1974.
- BUNCKE, H-J. & MURRAY, D.E. Autogenous arterial interposition of grafts of less than 1mm. in external diameter in rats.

  Transactions of the Sixt International Congress of Plastic and Reconstructive Surgery. pp. 572. London: Butterworths, 1971.
- CARREL, A. La technique operatoire des anastomoses vasculaires et la transplantation des visceres. Lyon Medical, 98: 859 864, 1902.
- COBBET, J.R. Small vessel anastomosis. British. Journal of Plastic. Surgery, 20: 16-20, 1967.
- COLLINS, G.M&; BARRY, J.M.; MAXWELL, J.G.; SAMPSON, D.; WANDER-WERF, B.A. The valve of magnesium in flush solutions for human cadaveric kidney preservation. The J.Urol., 131:220 222, 1984.

- COLLINS, G.M.; BRAVO-SHUGARMAN, M.B.; TERASHI, P.L. Kidney preservation for transportation. Initial perfusion and 30 hour ice storage. Lancet, 2: 1219-1222, 1969.
- COLLINS, G.M.; GREEN, R.D.; BOYER, D.; MALASZ, N.A. Production of kidneys from warm ischemic injury. Transplantation, 29 : (1) 83-84, 1980.
- DANILLER, A.; BUCHOLZ, R.; CHASE, R.A. Renal transplantation in rats with the use of microsurgical techniques: a new method.

  Surgery, 63: 956-961, 1968.
- DONOHOE, J.F.; VENKATACHALAM, M.A.; BERNARD, D.B.; LEVINSKY, N.G. Tubular leakage and obstruction after renal ischemica: structural-function correlations. kidney Inter. 13: 208-222, 1978.
- DOWNES, G.; HOFFMAN, R.; HUONG, J.; BELZER, F.O. Mechanism of Action washout solutions for kidney preservation.

  Transplantation, 16: 46, 1973.
- ELCOCK, H.W. & FREDERICKSON, J.M. The effect of repair on thrombosis at microvenous anastomotic sites. Archives of otolarungology, 95: 68-71, 1972.
- ENGBERG, A.; NORLEN, B.J.; KALLSKOG, O.; WOLGAST, M.
  Pathophysiology of renal ischemia. In: Renal preservation
  vol. 8; MARBERGER, M.M.; DRECKORN, K. (edits); Williams &
  Wilkins. Baltimore: 1, 1983.

FABRE, J.M LIM, S.M.; MORRIS, P.J. - Renal transplantation in the rat: details of a technique. The Australian and New Zealand Journal of Surgery, 69-75, 1971.

- FINN, W.F. Recovery from acute renal failure. In: Acute renal failures: BRENNER, B.M.; LAZARUS, J.M. (edits): W.S. Saunders Co.: 753, 1983.
- FISHER, B.S. Microvascular surgical techniques in research with special reference to renal transplantation in the rat .

  Surgery, 58: 904-914, 1965.
- FRENCH, M.E. & BACHELOR, J.R. Lancet, 2: 1103, 1969.
- FUJIMAKI, A.; O'BRIEN, B. Mc C.; KURATA, T. & THREEFALL, G. N. Experimental Micro-anastomosis of 0,4 0,5 mm. vessels.

  Britsh Journal of Plastic Surgery, 30: 269-272, 1977.
- FUJINO, T. & AOYAGI, F. A method of successive interrupted suturing in microvascular anastomoses Microvascular Suturing, vol. 55, 2: 240-241, 1972.
- GUTHRIE, C.C. Blood vessel surgery and its Applications.

  Reprinted by University of Pttsburg Press, 1959.
- HALLER, J.D.; KRIPKE, D.C.; STEPHEN, S.R.; DEE, R.; ROBERTS, T.; ROHMAN, M.; GOETZ, R.H. Long term results of small vessels anastomoses with a ring technic. Ann. Surg., 67-72, 1965.

HARVING, G.; ENGBERG, A.; ERICKSSON, J.L.E. - Effects of colorschemia on the preserved and transplanted rat kidney.

Structural changes of the proximal tubule, Virchows Arch.,

34: 153, 1980.

- HARVING, B.; NORLEN, B.J. A technique for in vivo and in vitro studies on the preserved and transplanted rat kidney.
   Urol. Res., 8: 107, 1980.
- HAYHURST, J.W. & O'BRIEN, B. Mc C. An experimental study of microvascular technique patency rats and related factors .

  Britsh Journal of Plastic Surgery, 28: 128-132, 1975.
- HENDERSON, L.W.; NOLPH, K.D.; PUSCHETT, J.B.; GOLDBERG, M. Proximal tubular malformation as a mechanism for douresis after penal homotransplantation. N.Engl. J.Med., 278(9): 467-473, 1968.
- INOBUCHI, K.; KONISHI, T.; YAGI, H.; NAKAMURA, T.; SAKAGUCHI, M.; NAKAMURA, N. Trombogenic properties at the site of anastomoses studied by a new technique for measuring platelet adherence. Surgery, 50: 493-496, 1961.
- JACOBSON, J.H. & SUAREZ, E.L. Microssurgery in anastomosis of small vessels. Surgical Forum, 11: 243-245, 1960.
- JIMENEZ, G.; RODRIGUEZ, J.; LORENTE, L.; DE PEDRO, J.A.; ALLER, M.A.; ARIAS, J.; BRANDAU, D.; DURAN, H. Técnicas microquirigicas de transplante ortóptico renal en la rata. Rev . Quir.Esp., 15 (3): 148-152, 1988.

- KOLAN, L.; WIEBERDINK, J. & RENEMAN, R.S. Anticoagulation in microvascular surgery. European Surgical Research, 5: 52 57, 1973.
- KORBER, K.E. & KRAEMER, B.A. Heterotopic renal transplantation in the rat: an advanced microsurgical training exercise.

  Microsurgery, 9(4): 286-291, 1988.
- LEE, S. An improved technique of renal transplantation in the rat. Surgery, 61 (5): 771-773, 1967.
- MARSHALL, V.C. Renal preservation prior to transplantation.

  Transplantation, 30: 165-166, 1980.
- MORGAN, D.B. Assesment of renal tubular function and damage their clinical significance Annals Clin. Biochem. 19: 307-319, 1982.
- MURRAY, G. Heparin in surgical treatment of blood vessels.

  Arch.Surg., 40: 307, 1940.
- NORLEN, B.J.; ENGBERG, A.; KALLSKOG, O.; WOLGAST, M. Intrarenal hemodynamics in the transplanted rat kidneys. Kidney Int. 14; 10, 1978a.
- NORLEN, B.J.; ENGBERG, A.; KALLSKOG, O.; WOLGAST, M. Nephron function of the transplanted rat kidney. Kidney Int., 14:10, 1978b.

- NYLEN, C.O. The otomicroscope and microsurgery 1921 1971.

  Acta Otolaryngology 73: 453-454, 1972.
- O'BRIEN, B. Mc C; HENDERSON, P.N.; BENNETT, R.C.; CROCK, G.W. 
  Microvascular surgical technique. Medical Journal of Australia

   1: 722-725, 1970.
- O'BRIEN, B. Mc C.; MAC LEOD, A.M.; MILLER, G.D.H.; NEWING, R.H.;

  of HAYHURST, J.W.; MORRISON, W.A. Clinical replantation of

  digits. Plastic and Reconstructive Surgery, 82: 490-502, 1973.
- o'BRIEN, B. Mc C. Cirurgia Reconstructiva Microvascular. Cap.4,
  45-55; Cap. 5, 56-87. Editorial El Manual Moderno S.A. México, 1980.
- OESTERWITZ, H.; ALTHAUS, P.; SCHRODER, K.; STROBELT, V.; KADEN,
  J. Microvascular surgery in experimental and clinical Kidney
  transplantation. Int. Urol. Nephrol. 14 (4): 347-357, 1983.
- PEGG, D.E. Progress in transplantation Cap. 4 Principles of tissue preservation. In: Progress in transplantation. Morris,

  Churchill livingstone. Edimburg. London N. York, pp 69 105, 1986.
  - PERRIT, R.A. Recent advances in corneal surgery. In American
    Academy of Ophtalmology and otolaringology. Course No. 280,

    1950.

- SACKS, S.A.; PETRITSCH, P.H.; KAUFMAN, J.J. Canine kidney pre servation using a new perfusate. Lancet I: 1024-1028, 1973.
- SASAKI, A. & HARII, K. Everting method: A new modification to obtain reliable microvascular anastomosis. Surgery, 89 (5): 558-564, 1981.
- SCHUMAKER, H.B. & LOWENBERG, R.J. Experimental studies in vascular repairs. Surgerym 24: 79-89, 1948.
- SEIDENBERG, B.; HURWITT, E.S.; CARTON, C.A. The technique of anastomosing small arteries surgery. Gynecology and Obstetrics, 106: 743-746, 1958.
- SIMÕES, J.D.; SIGULEM, D.; AJZEN, H.; FIGUEIREDO, J.F. -Functional behavior of the isolated rat kidney submitted to different renal preservation solutions. kidney Int., 26: 634, 1984.
- SWANSON, J.W.; BESARAB, B.; POMERANTZ, P.; De GUZMAN, A. Effect of erythrocytes and globulin on renal functions of isolated rat kidney. Am. J. Physiol., 241: 139, 1981.
- THAL, W. Direct Suture Anastomoses of the Coronary Arteries.

  Surgery, 40: 1023, 1956.
- TOLEDO-PEREYRA, L.A. & CONDIE, R.W. A comparisom of sacks and a new colloid hyperosmolar solution for hypotermic renal storage. Transplantation. 26: 166-168, 1978.
- VAN DER WIJK; RIJKMANS, B.G.; KOOTSTRA, G. Six day kidney preservation in a canine model. Influence of a 1-4 hour "ex-vivo" perfusion interval. Transplantation 35: 408-411, 1983.